

پادداشت فنی

بهمن میرزاخانی<sup>۱\*</sup><sup>۱</sup> دانشگاه اراک، دانشکده فنی مهندسی، گروه مهندسی مواد و متالورژی، اراک، ایران.

تاریخ ثبت اولیه: ۱۳۹۳/۰۹/۰۱، تاریخ دریافت نسخه اصلاح شده: ۱۳۹۴/۰۹/۱۵، تاریخ پذیرش قطعی: ۱۳۹۴/۰۹/۲۳

**چکیده** عملیات تولید فولادهای میکروآلیاژی نوردی شامل مجموعه‌ای از عملیات حرارتی و کار گرم است که به عملیات ترمومکانیکی موسوم می‌باشد. تعیین دماهای بحرانی استحاله آستنیت بعد از پایان تغییرشکل گرم و شناسایی عوامل موثر بر آنها منجر به کنترل تحولات ریزاساختاری در طی فرآیند تولید و در نتیجه دستیابی به ترکیب بهینه خواص مکانیکی در این فولادها می‌شود. در این مقاله، تاثیر دما و زمان آستنیتی کردن و سرعت سرد کردن بر رفتار استحاله آستنیت فولاد API-X70 با ساختار نواری فریت-پرلیت مورد بررسی قرار گرفت. بدین منظور نمونه‌های تهیه شده در جهت نورد (RD)، جهت عرضی نورد (TD) و جهت عمود بر نورد (ND) از صفحه فولاد تحت آزمایش دیلاتومتری و مطالعه ریزاساختاری واقع شدند. نتایج نشان می‌دهد که با افزایش دما و زمان آستنیتی، به دلیل انحلال بهتر عناصر به خصوص کربن در ساختار و رشد دانه‌های آستنیت، دمای شروع و پایان تجزیه آستنیت کاهش می‌یابد و ساختار از فریتی-پرلیتی به فریتی-بینیتی تبدیل می‌شود. همچنین تغییرات کم سرعت سرد شدن، تاثیر زیادی بر دماهای بحرانی فولاد ندارد ولی با افزایش بیشتر سرعت سرمایش، ساختار به صورت کاملاً بینیتی درآمده و دماهای شروع و پایان تجزیه آستنیت به شدت کم می‌شود. نتایج دیلاتومتری و متالوگرافی نوری نیز هر دو بیانگر این است که جهت نمونه دیلاتومتری تاثیر بسیار کمی بر دماهای بحرانی دارد.

**کلمات کلیدی:** عملیات حرارتی، تجزیه آستنیت، فولاد میکروآلیاژی، ریزاساختار.

## The Influence of Different Heat Treatments on the Phase Transformation Temperatures of API-X70 Steel Containing Banded Structure

Bahman Mirzakhani<sup>1</sup>

<sup>1</sup>Arak University, Faculty of Engineering, Department of Materials Science and Engineering, Arak, Iran.

**Abstract** The production of microalloy steel plates is associated with the combination of heat treatments and hot working known as thermo-mechanical process. Superior mechanical properties of the milled products could be obtained by controlling the microstructural evolution during hot rolling process and accurate identification of phase transformation temperatures. In this paper, the influence of austenitizing time and temperature, cooling rates, banded structure of ferrite and perlite and microalloying element on the phase transformation of austenite in API-X70 steel were investigated. The dilatometry test and microstructure analysis were carried out on the samples with different direction (RD, TD and ND) to the steel plate. The results indicate that increasing of austenitizing time and temperature decrease of the start and the finish temperature of austenite decomposition; this was associated with changing of microstructure from ferrite-perlite to ferrite-bainite. The impact of small changes of cooling rate was found to be insignificant on the phase transformation temperatures. However, by increasing the cooling rate, the microstructure becomes bainitic and the critical temperatures decrease rapidly. Both the dilatometry data and the microstructure micrographs prove that the sample direction has negligible effect on critical temperatures.

**Keywords:** Heat Treatment, Austenite Decomposition, Microalloy Steel, Microstructure.

\*عهده دار مکاتبات

نشانی: اراک، دانشگاه اراک، دانشکده فنی مهندسی تلفن: ۰۸۶-۳۲۶۲۵۸۳۲، پست الکترونیکی: bmirzakhani@iust.ac.ir



## ۱- مقدمه

آزمایش دیلاتومتری با تغییر سرعت سرمایش از دمای نرماله، استحاله فولادهای میکروآلیاژی و انادیومدار را بررسی کردند. نتایج تجربی این محققین نشان داد که ریزاساختار نهایی با افزایش سرعت سرد کردن از مخلوطی از فریت و پرلیت به فریت و بینیت خشن تبدیل می‌شود. فولاد و انادیومدار در مقایسه با فولاد بدون وانادیوم، میزان بینیت بیشتری دارد و نمودارهای CCT آن جابجا می‌شود. Phadke و همکارانش [۶] از روش محاسباتی برای بررسی استحاله فازی پس از نورد استفاده کردند. آنها با استفاده از تاریخچه دمایی قطعه بعد از نورد و اطلاعات استحاله فازی هم‌دما، تبدیل آستینیت به فریت، پرلیت، بینیت و مارتزیت را مدل‌سازی کردند. در فولادهای کم کربن مثل فولادهای میکروآلیاژی در طی نورد گرم پایانی، ساختار فریت و پرلیت در جهت نورد به صورت نواری قرار می‌گیرند که به ساختار نواری ۱ معروف است [۱]. Pathak و Shanmugan [۷] تاثیر ساختار نواری را بر چقرمگی شکست و دمای تبدیل تردی به نرمی یک فولاد میکروآلیاژی مورد بررسی آزمایشگاهی قرار دادند. آنها مشاهده کردند که ساختاری نواری پراکنده می‌تواند سبب بهبود مقاومت به ضربه شود. همچنین با افزایش تعداد نوارهای فریت-پرلیت، دمای تبدیل تردی به نرمی کاهش نشان می‌دهد. Isasti و همکارانش [۸] با استفاده از آزمایش دیلاتومتری و EBSD، نمودارهای CCT را برای ترکیب‌های شیمیابی مختلف از فولادهای دارای نایوبیوم و مولیبدن به دست آورden. نتایج آنها نشان می‌دهد که نایوبیوم و مولیبدن به دست آورده‌اند. افزایش نیز ولی افزایش نایوبیوم از ۰/۰۳ تا ۰/۰۶ درصد بر سینتیک استحاله فولاد اثر قابل توجهی ندارد. افزودن مولیبدن نیز باعث کاهش اندک دمای شروع استحاله‌ها در نمودارهای CCT می‌شود.

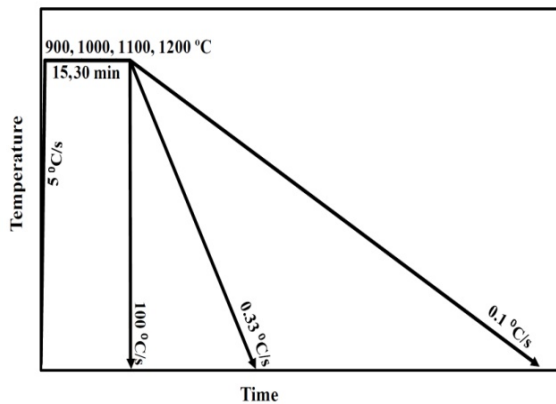
هدف اصلی از عملیات ترمومکانیکی فولادهای میکروآلیاژ، اصلاح ساختار دانه به منظور رسیدن به ترکیب بهینه‌ای از استحکام و چقرمگی می‌باشد. دستیابی به کترل بهینه خواص مکانیکی در فولادهای میکروآلیاژی به کترل صحیح ریزاساختار در طی فرآیند ترمومکانیکی بستگی دارد. بدین منظور تعیین دمای‌های بحرانی استحاله فولاد و سناسایی عوامل موثر بر آنها از اهمیت بالایی برخوردار است تا بتوان برنامه فرآیند ترمومکانیکی مناسبی را برای خط تولید طراحی

فولادهای میکروآلیاژی را می‌توان یک موفقیت متالورژیکی دانست. این فولادها اگر چه دارای استحکام بالایی هستند، اما میزان عناصر آلیاژی بالتبه کمی دارند. در واقع مشخصات مکانیکی مطلوب آنها، تحت تاثیر واکنش متقابل بین تغییر شکل گرم و عناصر میکروآلیاژی نظری نایوبیم، تیتانیم و وانادیم (در حدود کمتر از ۰/۱ درصد وزنی) است. کاربیدیری عالی، جوش‌پذیری مناسب این فولادها، منجر به استفاده آنها در لوله‌های انتقال نفت و گاز، سازه‌ها، صنعت اтомبیل و مخازن تحت فشار شده است [۱].

عملیات تولید فولادهای میکروآلیاژی نوردی شامل مجموعه‌ای از عملیات حرارتی و کار گرم است که به عملیات ترمومکانیکی موسوم می‌باشد. در این عملیات تغییر شکل پلاستیک و استحاله فاز به صورت پشت سر هم به گونه‌ای طرح‌ریزی می‌شوند که با یکدیگر وارد عمل شده و ریزاساختاری با بهترین خواص ایجاد نماید [۲]. بعد از پیش گرم و تغییرشکل گرم، در ادامه سرد کردن، فاز آستینیت ناپایدار شده و به فریت/پرلیت تبدیل می‌شود. نحوه تحول آستینیت به فریت، اندازه دانه نهایی و خواص مکانیکی فولاد را تعیین می‌کند. اندازه دانه‌های فریت نهایی به اندازه دانه‌های آستینیت اولیه و اندازه دانه‌های آستینیت تبلور مجدد یافته بستگی دارد. گزارش شده که کترل محدوده دمایی استحاله حتی پس از آن که آستینیت تحت تغییرشکل سنگین قرار گرفت، برای به حداقل رساندن اندازه دانه‌های فریت از اهمیت خاصی برخوردار است زیرا با افزایش نرخ جوانه‌زنی فریت در مرز دانه‌های آستینیت و کاهش سرعت رشد فریت امکان دستیابی به دانه‌های ریزتر فریت وجود دارد. این اثرات معمولاً با آلیاژسازی یا سردکردن کترول شده حاصل می‌شود. منگنز و مولیبدن عناصری هستند که معمولاً برای توازن دمای بحرانی  $Ar_3$  جهت رسیدن به بیشترین اصلاح دانه استفاده می‌شود [۳].

آزمایش دیلاتومتری یکی از موثرترین روش‌ها برای مطالعه استحاله فازی جامد-جامد آلیاژها است. تغییرات شیب منحنی تغییرات طول نمونه بر حسب دما در این آزمایش، بیانگر تحولات فازی است [۴-۸]. Kai و همکارانش [۵] با استفاده از

سرعت سرد کردن پس از آستینیت و جهت نمونه دیلاتومتری ماشین کاری شده از صفحه فولاد اولیه بر رفتار استحاله فولاد و دماهای بحرانی آن به کمک آزمایش دیلاتومتری مورد بررسی قرار گرفت. بدین منظور طبق شکل (۲) نمونه ها بعد از گرم شدن تا دمای آستینیت موردنظر، در این دما برای مدت زمان تعريف شده نگهداری و سپس با سرعت های مختلف تا دمای محیط سرد شدند و نتایج دیلاتومتری آنها مورد مقایسه و مطالعه قرار گرفت. به منظور مشاهده ریزساختار نمونه های مختلف به صورت کیفی، بررسی ریزساختاری به کمک میکروسکوپ نوری انجام شد و برای آشکارسازی ساختار از محلول حکاکی نایتال ۲٪ استفاده گردید.



شکل ۲. چرخه های عملیات حرارتی مختلف استفاده شده برای انجام آزمایش دیلاتومتری.

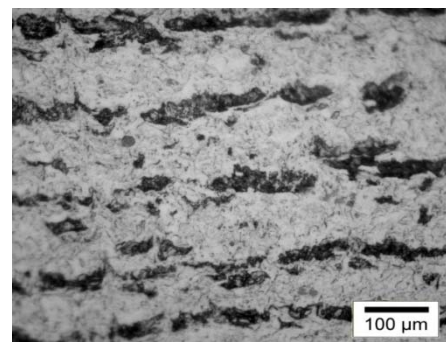
نمود. در این تحقیق با استفاده از آزمایش دیلاتومتری و بررسی ریزساختار، تاثیر ساختار نواری و چرخه های عملیات حرارتی مختلف بر دماهای بحرانی استحاله فازی در طی سرد شدن غیرهمدمای آستینیت در فولاد میکروآلیاژی نایوبیوم- وانادیوم- تیتانیوم دار، مورد مطالعه قرار گرفته است.

## ۲- روش تحقیق

به دلیل ویژگی های ممتاز فولادهای میکروآلیاژی، امروزه این فولادها کاربرد وسیعی در صنایع مختلف از جمله خطوط انتقال نفت و گاز پیدا کرده اند. ترکیب شیمیایی فولاد میکروآلیاژی API-X70 مورد استفاده در تحقیق حاضر در جدول ۱ آورده شده است. تجزیه شیمیایی توسط دستگاه طیف سنجی نشر نور انجام گرفت. این فولاد، یک فولاد فریتی- پرلیتی با ساختار نواری (Banded structure) بوده که در شکل (۱) ریزساختار فولاد اولیه نمایش داده شده است.

جدول ۱. ترکیب شیمیایی فولاد API-X70 مورد استفاده (wt%).

C	Si	Mn	S	P	Nb	V	Ti	N	Fe
۰/۰۹	۰/۳۲	۱/۶۳	۰/۰۰۳	۰/۰۰۹	۰/۰۴	۰/۰۵	۰/۰۱	۰/۰۰۲	باقیه



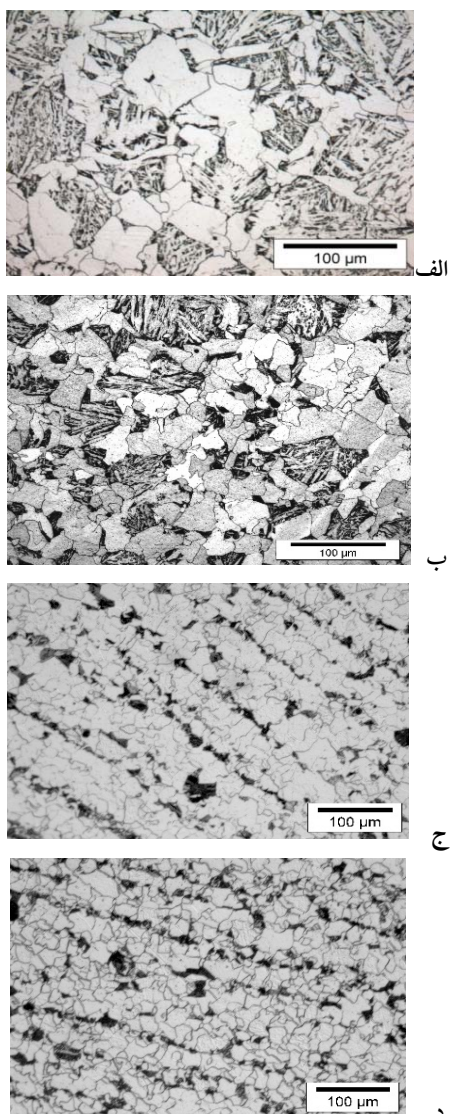
شکل ۱. تصویر میکروسکوپی نوری ریزساختار اولیه نمونه تهیه شده در جهت نور.

## ۳- نتایج و بحث

در تولید فولادهای میکروآلیاژی لازم است که سرد کردن به صورت کنترل شده انجام گردد تا ریزساختار مطلوب با بهترین خواص مکانیکی حاصل شود. تحولات متالورژیکی که در طی سرد شدن فولاد پس از پایان تغییر شکل گرم اتفاق می افتد، بر ساختار و در نتیجه خواص مکانیکی نهایی محصولات اثر می گذارند. به همین جهت در این مقاله رفتار استحاله فولاد در شرایط مختلف و تاثیر عناصر میکروآلیاژی و رسوبات آنها بر آن با استفاده از نتایج دیلاتومتری مورد مطالعه و بررسی قرار گرفته است.

در شکل (۳) منحنی های تغییرات طول نمونه بر حسب دما، در ضمن سرد کردن از دمای آستینیت نشان داده شده است.

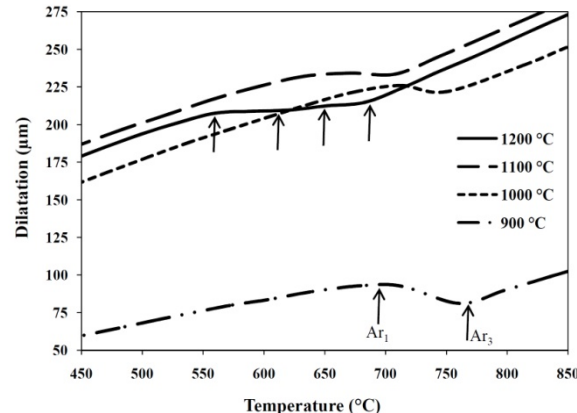
یکی از موثرترین روش ها برای مطالعه استحاله های فازی در فولادها، آزمایش دیلاتومتری است. در این پژوهش برای انجام آزمایش دیلاتومتری از دستگاه Bähr Dil 805 A/D استفاده گردید. نمونه های دیلاتومتری به شکل استوانه ای توپر به قطر  $4 \pm 0.2\text{ mm}$  و طول  $10 \pm 0.2\text{ mm}$  از صفحه فولاد اولیه در جهت نورد (RD)، جهت عرضی (TD) و عمود بر جهت نورد (ND) ماشین کاری شدند. سپس تاثیر دما و زمان آستینیتی،



شکل ۴. تصاویر میکروسکوپ نوری نمونه‌های آستینیتی شده در (الف)  $1200^{\circ}\text{C}$ ، (ب)  $1100^{\circ}\text{C}$ ، (ج)  $1000^{\circ}\text{C}$  و (د)  $900^{\circ}\text{C}$  به مدت ۱۵ دقیقه و سرد شده با سرعت  $0/33^{\circ}\text{C/s}$  تا دمای اتاق.

همان‌گونه که در شکل (۴) دیده می‌شود، ساختار نواری فریت-پرلیت حتی بعد از آستینیتی کردن در دماهای  $900^{\circ}\text{C}$  و  $1000^{\circ}\text{C}$  دست نخورده باقی مانده است ولی با افزایش بیشتر دماهای آستینیتی به دلیل افزایش سرعت نفوذ به صورت نمایی، انحلال بیشتر فازها و در نتیجه یکنواختی بیشتر ترکیب شیمیایی در ساختار اتفاق می‌افتد به طوری که در تصاویر ساختاری نمونه‌های آستینیتی شده در دماهای  $1100^{\circ}\text{C}$  و  $1200^{\circ}\text{C}$  اثری از ساختار نواری دیده نمی‌شود. تصویر متابولوگرافی در شکل‌های ۴-الف و ۴-ب حضور فازهای بینیت و مارتزیت را در ساختار تایید می‌کند زیرا همان‌طور که گفته شد، انحلال بیشتر عناصر میکروآلیاژی سختی‌پذیری فولاد

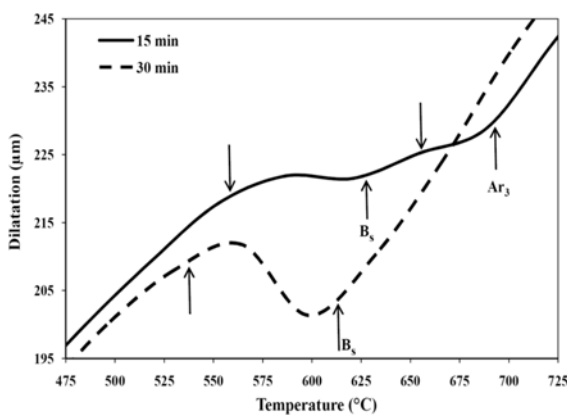
این نمونه‌ها در دماهای  $1200^{\circ}\text{C}$ ،  $1100^{\circ}\text{C}$ ،  $1000^{\circ}\text{C}$  و  $900^{\circ}\text{C}$  به مدت ۱۵ دقیقه آستینیتی شدند و سپس با سرعت ثابت  $0/33^{\circ}\text{C/s}$  تا دمای اتاق سرد گردید. تمام نمونه‌های دیلاتومتری در این بررسی در جهت ثابت RD تهیه شدند.



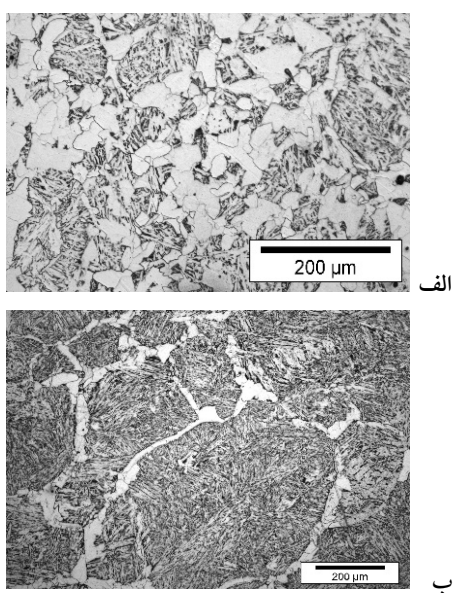
شکل ۳. منحنی دیلاتومتری ضمن سرد شدن با سرعت  $0/33^{\circ}\text{C/s}$  از دماهای آستینیتی مختلف؛ زمان آستینیتی  $15\text{min}$  و RD

همان‌طور که از نمودار شکل (۳) مشخص است، با افزایش دماهای آستینیتی از  $900^{\circ}\text{C}$  به  $1000^{\circ}\text{C}$  به  $1000^{\circ}\text{C}$  دماهای بحرانی  $\text{Ar}_1$  کاهش ولی دماهای  $\text{Ar}_3$  تقریباً ثابت می‌مانند. با افزایش بیشتر دماهای آستینیتی، دماهای استحاله کاهش می‌یابند. دماهای بحرانی  $\text{Ar}_1$  و  $\text{Ar}_3$  به ترتیب دماهای آغاز و پایان تجزیه غیرهم‌دامای آستینیت هستند. دلیل تغییرات دماهای بحرانی را این‌گونه می‌توان تحلیل نمود که تا دماهای آستینیتی کردن  $1000^{\circ}\text{C}$ ، انحلال عناصر به خصوص کربن به خوبی در ساختار صورت نمی‌گیرد. از طرف دیگر با افزایش دماهای آستینیتی کردن احتمال انحلال رسوبات عناصر میکروآلیاژی به خصوص کربونیتیدهای وانادیوم و نایوبیوم بیشتر می‌شود. عناصر وانادیوم و نایوبیوم، باعث جلوگیری از تبلور مجدد آستینیت تغییر‌شکل یافته می‌گردند، این عناصر می‌توانند با تشکیل کاربیدها، نیتریدها و کربونیتیریدها جلوی رشد دانه‌ها را گرفته و با ایجاد رسوب، دماهای تجزیه آستینیت را کاهش می‌دهند که باعث کم شدن فاصله بین دماهای شروع و پایان تجزیه آستینیت می‌شوند و رشد دانه‌های فریت در این بازه را محدود می‌کنند. گزارش شده [۸ و ۹] این عناصر علاوه بر کاهش منطقه استحاله فریت، سبب افزایش سختی‌پذیری فولاد نیز می‌گردند. تصاویر متابولوگرافی در شکل (۴) دلیل این مدعای است.

اولیه، مکانهای جوانهزنی کاهش یافته و استحاله دیرتر شروع می‌شود. به عبارت دیگر با درشت شدن دانه‌های آستینیت سختی‌پذیری افزایش یافته است. این مساله در کنار انحلال بیشتر عنصر آلیاژی در آستینیت در نمونه آستینیت شده برای مدت ۳۰ دقیق سبب می‌شود که ریزساختار آن در دمای محیط عمدتاً به صورت بینیتی بوده و دمای تشکیل بینیت آن طبق شکل ۵ در مقایسه با نمونه آستینیت شده برای مدت ۱۵ دقیقه، پایین‌تر باشد. لازم به ذکر است که تغییر شکل پلاستیک در آستینیت اولیه، موجب تسريع استحاله فولادها می‌شود. محققین بیان کرده‌اند که چگالی بالای نابجایی‌ها در آستینیت کرنش یافته به جوانهزنی سریع‌تر فازهای بعدی منجر می‌شود [۸].



شکل ۵. تاثیر زمان آستینیت بر منحنی دیلاتومتری ضمن سرد شدن (دمای آستینیت  $1200^{\circ}\text{C}$ ).

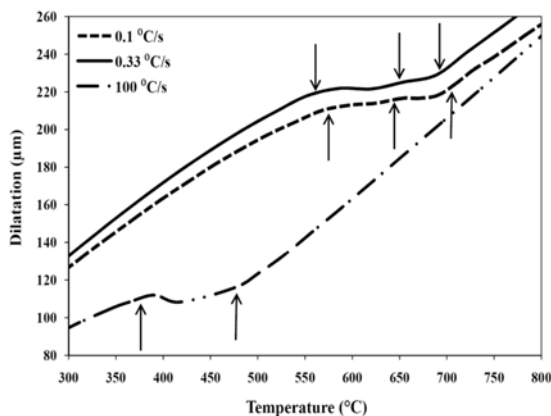


شکل ۶. تصاویر میکروسکوب نوری نمونه‌های آستینیت شده در دمای  $1200^{\circ}\text{C}$  به مدت (الف) ۱۵ دقیقه و (ب) ۳۰ دقیقه و سرد شده با سرعت  $0/33^{\circ}\text{C/s}$  تا دمای اتاق.

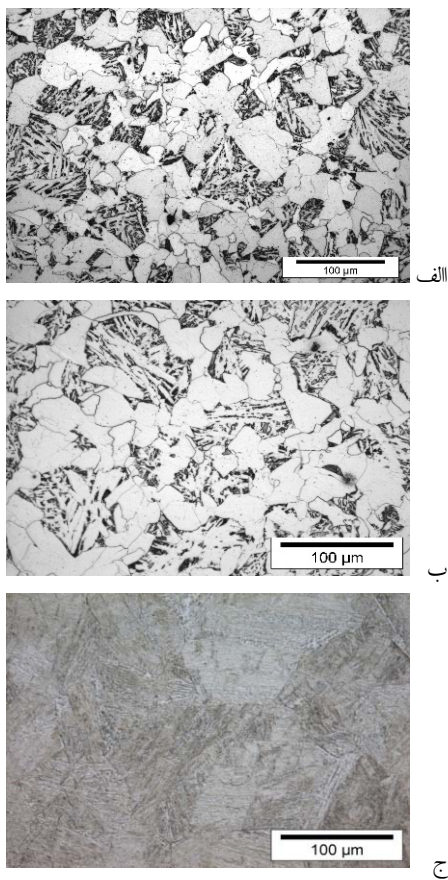
را افزایش می‌دهند، به طوری که در نمونه آستینیت شده در دمای  $1200^{\circ}\text{C}$ ، کسر حجمی این فازها بیشتر است. این پدیده در نمودار دیلاتومتری مربوط به دمای آستینیت  $1200^{\circ}\text{C}$  در شکل (۳) قابل رویت است به طوری که باعث بروز تغییر شیب‌های متوالی در منحنی دیلاتومتری مربوط به دمای آستینیت  $1200^{\circ}\text{C}$  می‌شود.

به منظور بررسی تاثیر زمان آستینیت کردن بر رفتار استحاله فولاد، دو نمونه دیلاتومتری درجهت TD، طبق چرخه حرارتی شکل (۲) در دمای ثابت  $1200^{\circ}\text{C}$  برای مدت زمان‌های ۱۵ و ۳۰ دقیقه آستینیت شده و سپس با سرعت  $0/33^{\circ}\text{C/s}$  تا دمای محیط سرد گردیدند. نتایج دیلاتومتری حاصل در شکل (۵) نشان داده شده است. همان‌گونه که ملاحظه می‌شود، دمای شروع تجزیه آستینیت با افزایش زمان آستینیت به شدت کاهش یافت. تحولات ریزساختاری این دو نمونه با استفاده از تصاویر ریزساختار حاصل از متالوگرافی نوری آن‌ها که در شکل (۶) نمایش داده شده؛ بهتر قابل تشریح است. برای نمونه آستینیت شده به مدت ۱۵ دقیقه تحولات فازی با تشکیل فریت پرویوتکتوئید آغاز می‌گردد به نحوی که سبب اولین تغییر در شیب منحنی طبق شکل (۵) می‌شود. با ادامه سرمایش نمونه، طبق تصویر طرح‌وار منحنی CCT در شکل (۷)، فریت سوزنی و بینیت بقیه ساختار را در بر می‌گیرد ولی در این نمونه کسر حجمی بینیت در مقایسه با فریت پلی‌گونال و سوزنی کم است. با افزایش زمان آستینیت کردن، کسر حجمی قابل توجهی از ساختار به بینیت تعلق گرفته و مقدار بسیار کمی فریت پرویوتکتوئید در مرز دانه‌های آستینیت اولیه مشاهده می‌شود به طوری که در منحنی دیلاتومتری نمونه آستینیت شده به مدت ۳۰ دقیقه، تغییرات متوالی در شیب منحنی اتفاق نمی‌افتد. با افزایش زمان آستینیت کردن دانه‌های آستینیت رشد بیشتری را خواهند داشت زیرا پدیده رشد دانه یک پدیده نفوذی است که نیاز به زمان دارد. میانگین اندازه دانه آستینیت برای دو زمان آستینیت ۱۵ و ۳۰ دقیقه در تحقیق دیگر انجام شده [۱۰] به ترتیب برابر  $102\mu\text{m}$  و  $155\mu\text{m}$  به دست آمد. همان‌گونه که ملاحظه می‌شود با افزایش زمان آستینیت از ۱۵ دقیقه به ۳۰ دقیقه، دانه‌ها  $50\%$  رشد داشته‌اند. از آنجایی که جوانهزنی فاز فریت و پرلیت و شروع استحاله از مرز دانه‌های آستینیت آغاز می‌شود، بنابراین با درشت شدن دانه‌های آستینیت

شده سپس با سرعت ثابت  $0.33^{\circ}\text{C/s}$  تا دمای محیط سرد شدند. همان‌گونه که منحنی‌های دیلاتومتری نشان می‌دهند، با تغییر جهت نمونه دیلاتومتری، دماهای بحرانی استحاله فولاد ثابت می‌ماند. بررسی دقیق‌تر نشان می‌دهد که در هر دو دمای آستینیتی، منحنی‌های مربوط به جهت‌های RD و TD کاملاً شبیه یکدیگر است و این منحنی‌ها با منحنی جهت ND تفاوت جزئی دارند.

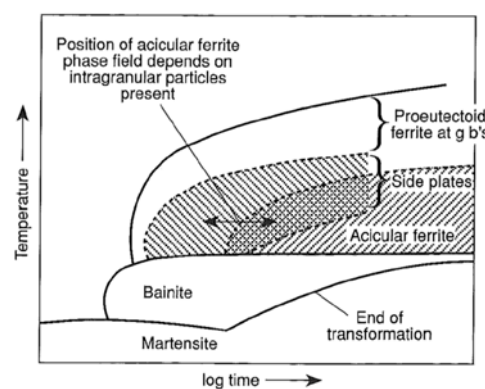


شکل ۸ تاثیر سرعت سرد کردن بعد از آستینیتی کردن در دمای  $0.33^{\circ}\text{C/s}$  و زمان  $15\text{ min}$  بر منحنی دیلاتومتری ضمن سرد شدن.



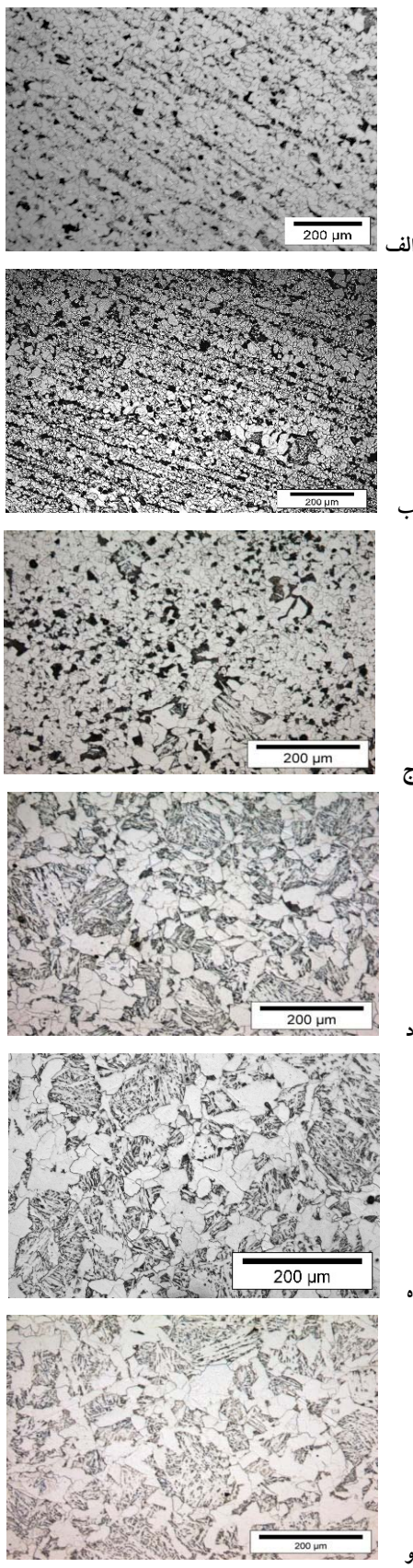
شکل ۹ تصاویر میکروسکوپ نوری نمونه‌های آستینیتی شده در دمای  $1200^{\circ}\text{C}$  به مدت  $15\text{ min}$  و سرد شده با سرعت‌های (الف)  $0.1^{\circ}\text{C/s}$ ، (ب)  $0.33^{\circ}\text{C/s}$  و (ج)  $100^{\circ}\text{C/s}$ .

تأثیر سرعت سرمایش بعد از آستینیتی در دمای  $1200^{\circ}\text{C}$  به مدت  $15\text{ min}$  بر منحنی دیلاتومتری و ریزساختار فولاد به ترتیب در شکل‌های (۸) و (۹) نشان داده شده و جهت تمام نمونه‌ها در این بررسی جهت TD بوده است. در حقیقت، استحاله‌ها در صنعت به صورت غیرهم‌دما و در طی سرد کردن پیوسته اتفاق می‌افتد. همان‌طور که در شکل (۸) ملاحظه می‌شود، با افزایش سرعت سرد شدن دماهای بحرانی استحاله کاهش می‌یابد. البته تغییرات کم سرعت سرمایش، تقریباً تاثیری بر دماهای استحاله ندارد زیرا تغییرات منحنی دیلاتومتری مربوط به سرعت‌های سرمایش  $0.1^{\circ}\text{C/s}$  و  $0.33^{\circ}\text{C/s}$  تقریباً مشابه یکدیگر است. تصاویر متالوگرافی نوری این دو نمونه در شکل‌های ۹-الف و ۹-ب نیز، حاکی از یکسان بودن تحولات ریزساختاری آنها در طی سرد شدن است به طوری که ساختار هر دو نمونه در دمای محیط، به صورت فریتی-پرلیتی با مقادیر کم فریت سوزنی یا بینیت می‌باشد. با افزایش سرعت سرد کردن به  $100^{\circ}\text{C/s}$ ، ساختار شامل بینیت و مارتزیت بدون هیچ‌گونه فریت پرویو-تکتوئید در مرز دانه‌ها است. به گونه‌ای که در منحنی دیلاتومتری نمونه سرد شده با سرعت  $100^{\circ}\text{C/s}$  تغییرات شبی مشاهده شده مربوط به تشکیل بینیت می‌باشد. لازم به ذکر است که طبق شکل (۷) می‌توان گفت بینیتی که در ساختارهای شکل‌های ۹-الف و ۹-ب تشکیل می‌شود از نوع بینیت بالایی و بینیت تشکیل شده در ساختار شکل ۹-ج از نوع بینیت پایینی است.



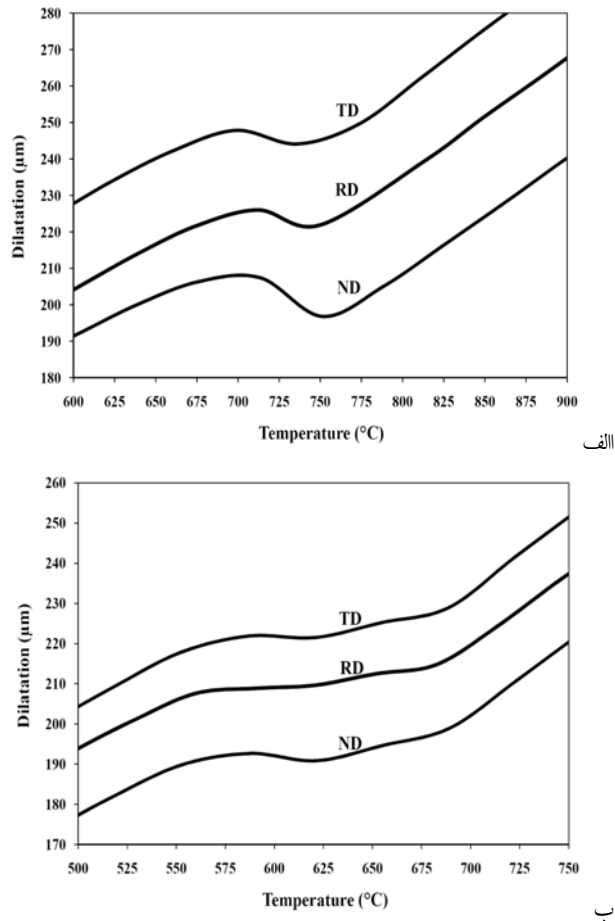
شکل ۷. طرح وار منحنی CCT فولادهای کم کربن، بیانگر محدوده تشکیل فریت سوزنی و بینیت [۱].

در شکل (۱۰) تاثیر جهت نمونه دیلاتومتری تهیه شده از صفحه فولاد اولیه، بر منحنی دیلاتومتری ضمن سرد برای دو دمای آستینیتی نشان داده شده است. بدین ترتیب که نمونه‌های تهیه شده در جهات RD و TD از صفحه فولاد اولیه طبق چرخه گرمایی شکل (۲) در دو دمای  $1200^{\circ}\text{C}$  و  $1000^{\circ}\text{C}$  به مدت  $15\text{ min}$  آستینیتی



شکل ۱۱. تصاویر متالوگرافی نوری نمونه‌های آستینیتی شده به مدت ۱۵ min و سرد شده با سرعت  $40^{\circ}\text{C}/\text{s}$ ؛ (الف) دمای آستینیتی  $1000^{\circ}\text{C}$  و جهت RD، (ب) دمای آستینیتی  $1000^{\circ}\text{C}$  و جهت TD، (ج) دمای آستینیتی  $1000^{\circ}\text{C}$  جهت ND، (د) دمای آستینیتی  $1200^{\circ}\text{C}$  و جهت RD، (ه) دمای آستینیتی  $1200^{\circ}\text{C}$  و جهت TD و (و) دمای آستینیتی  $1200^{\circ}\text{C}$  و جهت ND.

همان‌طور که تصویر متالوگرافی ساختار اولیه فولاد در شکل (۱) نشان می‌دهد، فولاد مورد بررسی یک فولاد میکروآلیاژی فریتی-پرلیتی با ساختار نواری است و ردیفهای فریت و پرلیت در طی فرآیند تولید در جهت نورد کشیده شده و ساختار نواری را ایجاد نموده‌اند. برای نمونه با جهت‌های RD و TD، ساختار نواری فریت-پرلیت در راستای محور نمونه قرار دارد ولی برای جهت ND، محور نمونه عمود بر نوارهای فریت و پرلیت است. به نظر می‌رسد به همین دلیل منحنی‌های دیلاتومتری جهت RD و TD کاملاً مشابه و منحنی دیلاتومتری جهت ND با جهت‌های RD و TD تقاضت اندکی دیده می‌شود. تصاویر متالوگرافی در شکل (۱) نیز این مطلب را تایید می‌کند. در هر دو دمای آستینیتی، ریزساختارهای نمونه‌های تهیه شده در جهات RD و TD کاملاً مشابه است. برای دمای آستینیتی  $1000^{\circ}\text{C}$ ، ریزساختار نهایی فولاد شامل فریت و پرلیت بوده با افزایش دمای آستینیتی به  $1200^{\circ}\text{C}$  و توزیع کردن در زمینه، ساختار نواری از بین رفته و ریزساختار نهایی به صورت ترکیبی از فریت چند وجهی و فریت سوزنی با مقادیر کم پرلیت و پیوند درمی‌آید.



شکل ۱۰. تأثیر جهت نمونه دیلاتومتری تهیه شده از صفحه فولاد اولیه بر منحنی دیلاتومتری ضمن سرد شدن، زمان آستینیتی ۱۵ min و دمای آستینیتی (الف)  $1000^{\circ}\text{C}$  و (ب)  $1200^{\circ}\text{C}$ .

## سپاسگزاری

از حوزه معاونت پژوهشی دانشگاه اراک به دلیل حمایت مالی طرح پژوهشی به شماره قرارداد ۹۲/۱۱۴۶۵ مورخ ۹۲/۱۰/۳۰ کمال تشکر و قدردانی می‌شود.

## مراجع

1. T. Gladman, The Physical Metallurgy of Microalloyed Steels, The Institute of Materials, London, 1997.
2. C. Ouchi , Development of Steel Plates by Intensive Use of TMCP and Direct Quenching Processes, *ISIJ International*, 2001, 41, 542- 553.
3. L.J. Cuddy, Microstructures Developed during Thermo-mechanical Treatment of HSLA steels, *Metallurgical Transactions A*, 1981, 12, 1313- 1320.
4. C.G. Andres, F.G. Caballero, C. Capdevila, L.F. Alvarez , Application of Dilatometric Analysis to the Study of Solid-Solid Phase Transformation in Steels, *Materials Charcterization*, 2002, 48, 101-111.
5. W. Kai, W. Li-jun, C. Wen-Feng, R. Hai-Peng, L. Chun-Ming , in Low Carbon Steels during Continuous Cooling Process, Ph.D. Thesis, School of Materials and Metallurgy Northeastern University, Shenyang, China, 2004.
6. S. Phadke P. Pauskar, R. Shivpuri , Computational Modeling of Phase Transformations and Mechanical Properties during the Cooling of Hot Rolled Rod, *Journal of Materials Processing Technology*, 2004, 150, 107-115.
7. P. Shanmugam, S.D. Pathak, Some Studies on the Impact Behavoir of Banded Microalloyed Steel, *Engineering Fracture Mechanics*, 1996, 53, 991-1005.
8. N. Isasti, D.J. Diola, M.L. Taheri , P. Uranga, Phase Transformation Study in Nb-Mo Microalloyed Steels Using Dilatometry and EBSD Quantification, *Metals & Materials Society*, ASM International, 2013.
9. J. Calvo, I.H. Jung, A.M. Elwazri, D. Bai, S. Yue , Influence of Chemical Composition on Transformation Behavior of Low Carbon Microalloyed Steels, *Materials Science and Engineering A*, 2009, 520, 90-96.
10. B. Mirzakhani, S. Khoddam, H. Arabi, M.T. Salehi , J.A. Sietsma , Coupled Thermal-Mechanical FE Model of Flow Localization during the Hot Torsion Test, *Steel Research International*, 2009, 80, 846-854.

## ۴- نتیجه گیری

از بررسی و مطالعه آزمایشگاهی رفتار استحاله فازی و ریزساختار فولاد میکروآلیاژی API-X70 به کمک آزمایش دیلاتومتری و متالوگرافی نوری، نتایج کلی زیر حاصل گردید:

۱- با افزایش دمای آستینیته از  $900^{\circ}\text{C}$  به  $1000^{\circ}\text{C}$  کاهش ولی دمای  $\text{Ar}_3$  تقریباً ثابت می‌ماند. با افزایش بیشتر دمای آستینیته، دماهای تجزیه آستینیت به دلیل انحلال بهتر عناصر و رسوبات عناصر میکروآلیاژی کاهش می‌بایند به طوری که در تصاویر ساختاری نمونه‌های آستینیته شده در دماهای  $1100^{\circ}\text{C}$  و  $1200^{\circ}\text{C}$  اثری از ساختار نواری نبوده و فازهای بینیت و مارتزیت در ساختار تشکیل می‌شود.

۲- دمای شروع تجزیه آستینیت، به دلیل رشد دانه‌ها و انحلال بهتر کربن و عناصر میکروآلیاژی، با زیاد شدن زمان آستینیته از  $15^{\circ}\text{C}$  به  $30^{\circ}\text{C}$  دقيقه، به شدت کاهش می‌یابد. در این حالت کسر حجمی قابل توجهی از ساختار به بینیت تعلق گرفته و مقدار بسیار کمی فریت پرویوتکتوئید در مرز دانه‌های آستینیت اولیه مشاهده می‌شود و شب منحنی دیلاتومتری به طور متوالی تغییر می‌کند.

۳- با افزایش سرعت سرد شدن، دماهای شروع و پایان تجزیه آستینیت کاهش می‌یابد. البته تغییرات کم سرعت سرمایش، تاثیر ناچیزی بر دماهای استحاله دارد. با افزایش بیشتر سرعت سرد کردن، ساختار شامل بینیت و مارتزیت بدون هیچ گونه فریت پرویوتکتوئید در مرز دانه‌ها است به گونه‌ای که در منحنی دیلاتومتری تغییرات شب مشاهده شده مربوط به تشکیل بینیت است.

۴- جهت نمونه دیلاتومتری تهیه شده از صفحه فولاد اولیه، تاثیر زیادی بر دماهای بحرانی استحاله ندارد. منحنی‌های دیلاتومتری جهت RD و TD کاملاً مشابه و منحنی دیلاتومتری جهت ND با جهت‌های RD و TD تفاوت اندکی دارد. با افزایش دمای آستینیته به دلیل از بین رفتن ساختار نواری تاثیر ساختار نواری بر دماهای بحرانی کمتر می‌شود.